

## V—6 鉄筋コンクリート多主橋の終局耐力についてのモデル実験

北海道大学 学生員 ○鷹巣 恵一  
 正員 佐伯 昇  
 正員 藤田 嘉夫

1. まえがき：鉄筋コンクリート多主橋は曲げとねじりが作用する構造であるが、荷重が弾性レベルを超えた場合、主橋あるいは床版にひび割れが発生して、曲げ剛性、ねじり剛性が低下する。終局状態における荷重分担性状を考える場合、その事を考慮しなければならない。本研究においては、多主橋の基本構造体であるT橋を取り出し 実験解析を作成し、ねじりと曲げの比、鉄筋比の違いによる破壊までの剛性の低下を測定した。また、多主橋のモデル橋を作成し既応の実験データも合わせて、横筋(端部)、床版の変形・破壊に対する影響を検討した。さらに、格子構法を使った解前に於いて、剛性の値を低下させる事により実験との対応を考えた。

## 2. 実験方法：

実験した多主橋、T橋のモデル橋の諸元を表-1、2に示す。モルタルは多主橋、T橋とも水セメント比(w/c)

0.50、砂セメント比(s/c)2.5である。

セメントは普通ポルトランドセメントを用いた。養生は約24日間溼潤養生し、材令約28日で実験を行なった。モデル橋の断面寸法は図-1、2を示す通りである。スパン長は320cmである。T橋については、スター・タップをφ3.2mmの鋼線を用い、鉄筋比0.78のものでは8cm間隔、0.20のものでは16cm間隔で配筋した。多主橋については、主橋のスター・タップはφ3.2mmの鋼線を8cm間隔で用いた。中間横筋の主鉄筋は同じくφ3.2mmを6本用いた。主橋端部の横筋は、φ6の鉄筋を2本入れて補強し、スター・タップによる補強はしていない。床版の配筋は、スター・タップと同じ鋼線を3cm間隔(中央からスパン長の1/3までは2cm間隔)に溶接したものと上下2枚を使用した。

測定方法：(1)T橋-コンクリートの歪は床版上面にストレインゲージを貼り測定した。  
 (2)ひびわれ幅は横筋にコンタクトゲージを貼り測定した。主鉄筋の歪は、スパン中央

表-1 T橋

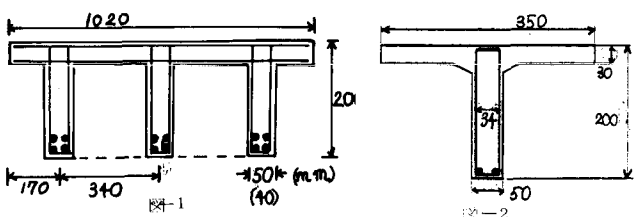
T/M	鉄筋比	モルタル 圧縮強度	モルタル 引張強度	E <sub>c</sub>	ボアン比	鉄筋
0.05	0.78	372.6	17.30	232	0.203	D13×4
0.10	"	324.3	22.22	252	0.224	"
0.20	"	341.7	21.39	245	0.230	"
0.30	"	264.2	21.76	237	0.219	"
0.40	"	326.6	24.54	255	0.219	"
0.05	0.20	387.9	16.80	240	0.222	D10×2
0.10	"	308.1	18.03	241	0.210	"
0.20	"	328.9	22.56	237	0.211	"
0.30	"	313.5	21.79	238	0.222	"
0.40	"	406.4	25.40	230	0.198	"

Kg/cm<sup>2</sup> Kg/cm<sup>2</sup> t/cm<sup>2</sup>

表-2 多主橋

橋-1	0.72	346	20.7	224	0.218	D13×4
橋-2	"	364	18.8	249	0.221	"
橋-3	"	311	17.1	186	0.200	"
橋-4	"	356	20.0	222	0.220	"

Kg/cm<sup>2</sup> Kg/cm<sup>2</sup> t/cm<sup>2</sup>



中央にストレインゲージを貼り測定した。垂直変位は11°、中央及び両端の支点近くの3ヶ所で測定した。ねじり角は中央を除んで対称に16.5cm離れた底面より2本のアームを伸ばし2本の変位の差をとることにより測定した。

(2)多主橋-コンクリートの歪は床版上下面、中間横筋の側底面にストレインゲージを貼り測定した。ひびわれ幅

は、床版上面、主桁側面にコンタクトゲージを貼り測定した。主鉄筋の歪は、スパン中央部においてストレインゲージを貼り測定した。垂直変位はスパン中央で測定した。

載荷方法：(1) T 桁—2種類の鉄筋比に対し  $V/M = 0.05, 0.1, 0.2, 0.3, 0.4$  の5通りの比で載荷した。曲げ荷重は桁

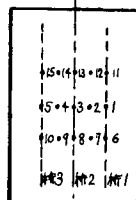
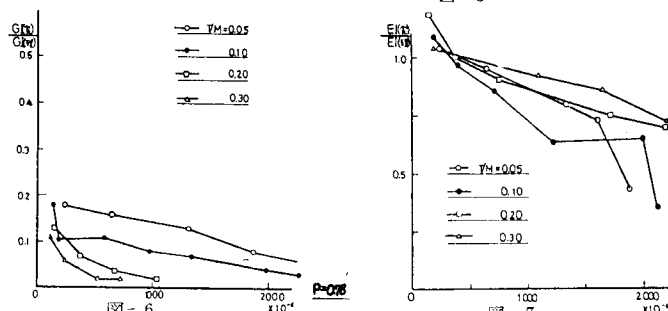
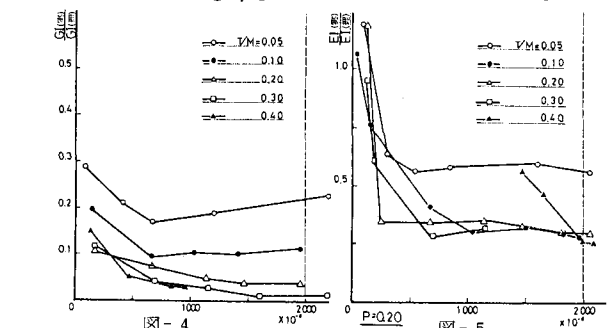


図-3 載荷点

中央で1点に油圧ジャッキで載荷した。ねじり荷重は桁の方側端部をトルクドライムに巻きついた71ヤーを手動センターホール油圧ジャッキで引いて行なった。なお、実験装置の能力上、ねじりの比が大きくてねじり破壊しない場合は可能な限りねじりを一定にし曲げを増加させて破壊した。(2) ダブル主桁—載荷は1等橋後輪軸下荷重を考え載荷板を通じ油圧ジャッキで行なった。載荷点は図-3に示す15点で、一定の荷重段階で総ての点に載荷してから荷重段階を上げる方法で行なった。主鉄筋の歪が約  $900 \times 10^{-6}$  になった後は、載荷点1に載荷して破壊させた。

### 3. 実験結果及び考察

(1) T 桁 各荷重におけるたわみとねじり角から求めた曲げ剛性、ねじり剛性を理論値と比較した



今、鉄筋比0.20のものでは、鉄筋の歪  $2000 \times 10^{-6}$  に対して、約  $1/2 \sim 1/6$  に低減している。また、鉄筋比0.78のものでは  $3/4 \sim 1/2$  に低減している事がわかる。(図-4, 5, 6, 7)。

### (2) ダブル主桁

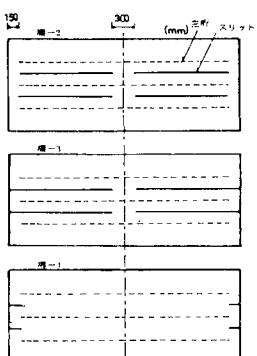


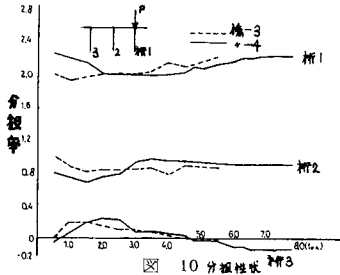
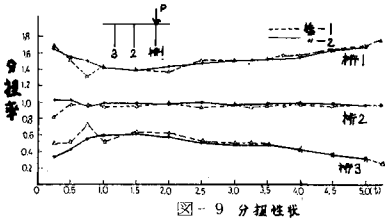
図-8

橋1は中間横桁のある実橋のモデル橋、橋2, 3, 4は床版、端部横桁の影響を調べるために、橋2においては、桁と桁の間の床版を横桁の有効幅、主桁端部の横桁の部分を残してスリットを入れたもの。橋3は橋2をさらに主桁端部の横桁までスリットを伸ばしたもの。橋4は床版の部分には入れず端部横桁のみにスリットを入れたものである。図-8に橋2, 3, 4を示す。

橋3と橋4を比較すると破壊荷重の違いはあるものの、変形に関してはほぼ同様の挙動を示した。また、橋1と橋2の比較においても変位に関しては主鉄筋の降伏荷重(約6.5t)までほとんど同じであり、変形に対しての床版の影響はないものと思われる。橋4においては橋1に比べてねじり変形が大きく、端部横桁のねじれ剛性の影響が顕著である。

ねじりに関しては、鉄筋を無視して断面を長方形に分割し St-Venant の理論を用いて計算したものを弹性剛性値の基準とした場合、鉄筋比0.20のものも0.78のものもほぼ同様の低減の仕方を示し、所比による違いはあるものの、鉄筋の降伏した点と考えられる歪  $2000 \times 10^{-6}$  の前後で、約  $1/2 \sim 1/6$  に低減している事がわかる。歪の比が大きい程、即ち前の値が小さい程、低減が少ない傾向を示しているが、これはひび割れの入るパターンの違いによるものと考えられる。

次に、曲げに関しては、鉄筋の影響を考えて STATE-I の状態で計算したものと弹性剛性値の基準とした場合



次に、荷重分担性状に関して(図-9,10)比較する。分担率は各橋のたわみを基に算出した。即ち、各橋のたわみを  $\delta_1, \delta_2, \delta_3$  とすると  $(\delta_1 + \delta_2 + \delta_3) = 1$  として、分担率を  $\delta_1/\delta, \delta_2/\delta, \delta_3/\delta$  で算出した。

橋1と橋2を比較すると、破壊にいたるまで分担性状はほとんど一致しており、橋2においては床版の曲げ剛性は0と考えられる事から、床版を伝わっての荷重伝達はほとんどない事がわかる。橋3、橋4においては橋1の分担率が橋1のそれの1.35倍にふれ分担が極端に悪くなり、橋2、橋3の分担率が減っている。これは端部からの荷重伝達が行なえず伝達は中間構柱を通してのみとなり応力が橋1に集中している事になる。次に、橋1について破壊までの橋1の分担性状をみると、橋にひび割れが発生した段階において分担が減少し、その後、一定の分担性状がやや続き、主析に斜めひび割れが入った3も前後より分担率は上昇し、支点工の横析にねじりひび割れが入った5七の当たりから勾配がやや急となってくる。これらの動きについて次で格子析法を使って検討した。

#### 4. 格子析法による解析と実験値との比較

図-11に示すように床版をstripに分けて曲げ、およびねじり変形を考えて挾角法を用いてスラブの曲げモーメントを求める。

主析1, 2, 3のT点のねじり角を  $\Theta^1, \Theta^2, \Theta^3$  とすると

$$\Theta^1 = -\sum M^1 \theta \quad \Theta^2 = \sum (M^2 + M^3) \theta \quad \Theta^3 = \sum M^3 \theta \quad (1)$$

支点端部の横析のねじりモーメントを図-12のように  $T_1, T_2$  とする時、主析1, 2, 3のたわみを  $\delta_T^1, \delta_T^2, \delta_T^3$  とすると

$$\begin{aligned} \delta_T^1 &= \sum V^1 \delta - T_1 \delta t & \delta_T^2 &= \sum (V^1 + V^2) \delta + (T_1 - T_2) \delta t \\ \delta_T^3 &= \sum V^2 \delta + T_2 \delta t \end{aligned} \quad (2)$$

ここで  $\theta, \delta$  はねじり角、たわみの影響線マトリックス  $\delta$  は  $T$  によるたわみの影響線マトリックスである。

せん断力とモーメントの釣合式は

$$\left. \begin{aligned} V^1 &= -\frac{1}{\lambda} (M^1 + M^1') + V^{10} \\ V^2 &= \frac{1}{\lambda} (M^2 + M^3) + V^{10}' \\ V^3 &= -\frac{1}{\lambda} (M^3 + M^2) \\ V^4 &= \frac{1}{\lambda} (M^2 + M^3) \end{aligned} \right\} \quad (3)$$

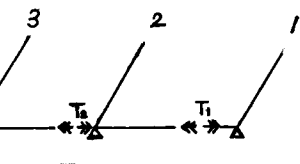


図 12

ここで  $V^1, V^2$  は荷重によるせん断力である。挾角式を用いて

$$\left. \begin{aligned} M^1 &= 2\varphi^1 + \varphi^1' - \mu^1 C_1 & M^1' &= 2\varphi^1 + \varphi^1' - \mu^1 C_1 \\ M^2 &= 2\varphi^2 + \varphi^2' - \mu^2 C_2 & M^2' &= 2\varphi^2 + \varphi^2' - \mu^2 C_2 \end{aligned} \right\} \quad (4)$$

ここで  $\mu^1 = \alpha^1 (\delta_T^2 - \delta_T^1) \quad \mu^2 = \alpha^2 (\delta_T^3 - \delta_T^2)$

$$\varphi^1 = \beta^1 \Theta^1 \quad \varphi^1' = \beta^1 \Theta^2 \quad \varphi^2 = \beta^2 \Theta^2 \quad \varphi^2' = \beta^2 \Theta^3$$

$$\alpha^1 = 6 EI_o^1 / \lambda \quad \alpha^2 = 6 EI_o^2 / \lambda \quad \beta^1 = 2 EI_o^1 / \lambda \quad \beta^2 = 2 EI_o^2 / \lambda$$

( $I_o$  は有効幅当たりの床版の断面2次モーメント)

(4)式を用いて  $M$  についてまとめる

$$[A][M] = [P]$$

(5)

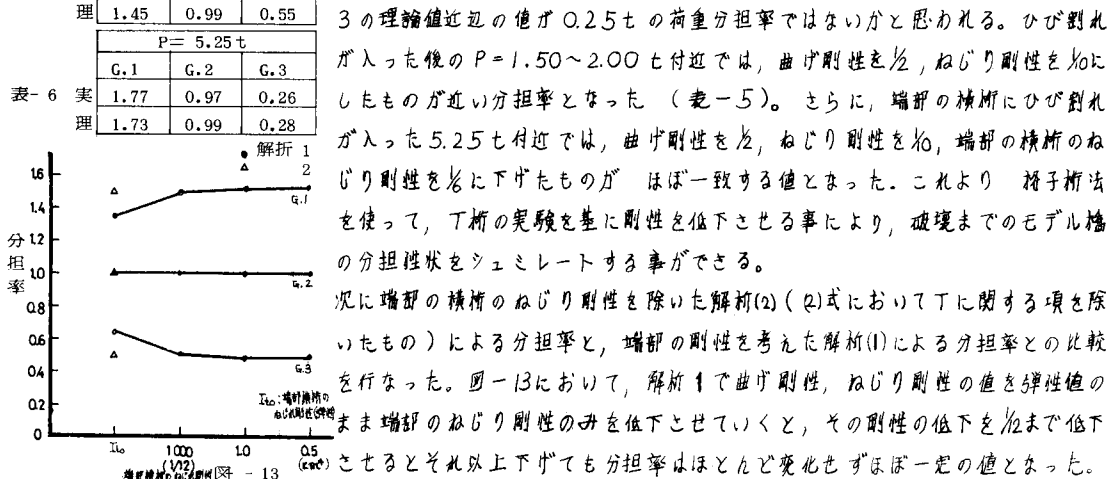
このマトリックスを電子計算機で解き、T析の実験結果を基に各剛性を変化させて、各析の分担率を算出

した。表-3, 4, 5, 6に変形剛性を変化させて算出した分担率と実験から求めた橋1の種々の荷重に対する分担率

を示した。表-3では弾性状態と考えられる  $P = 0.25 t$  の橋1の分担率に対して、弾性状態の剛性をそのまま使用して算出した分担率とではやや差が見られる。

これはモデル橋では荷重が小さい段階では荷重の伝達がスムーズに行なわれないために理論に合わない値となったのではないかと考える。さらに、荷重が増加しひび割れが入り始めた  $0.75 t$  の値に対しては曲げ剛性のみを3%に低下させた値が近い分担率となった(表-4)。これはひび割れにより曲げ剛性が低下し相対的にねじり剛性が高くなり、分担性状がよくなっている。表3と4を比べると、表-3の理論値と表-4の実験値は近い値となっており図一より曲げ剛性の低下が緩やかである事を考えると、荷重が  $0.25 t$  から  $0.75 t$  にふえる事により実験値にみられる急激な変化は考えられず実際には表-3の理論値近辺の値が  $0.25 t$  の荷重分担率ではないかと思われる。ひび割れ

が入った後の  $P = 1.50 \sim 2.00 t$  付近では、曲げ剛性を  $\frac{1}{2}$ 、ねじり剛性を  $\frac{1}{10}$  にしたものが近い分担率となった(表-5)。さらに、端部の横筋にひび割れが入った  $5.25 t$  付近では、曲げ剛性を  $\frac{1}{2}$ 、ねじり剛性を  $\frac{1}{10}$ 、端部の横筋のねじり剛性を  $\frac{1}{10}$  に下げるものがほぼ一致する値となった。これより橋子桁法を使って、T桁の実験を基に剛性を低下させる事により、破壊までのモデル橋の分担性状をシミュレートする事ができる。



次に端部の横筋のねじり剛性を除いた解析(2)(R<sub>2</sub>式においてTに関する項を除いたもの)による分担率と、端部の剛性を考えた解析(1)による分担率との比較を行なった。図-13において、解析1で曲げ剛性、ねじり剛性の値を弾性値のまま端部のねじり剛性のみを低下させていくと、その剛性の低下を  $\frac{1}{10}$ まで低下させるとそれ以上下すても分担率はほとんど変化せずほぼ一定の値となった。

また、その値は解析2で曲げ剛性、ねじり剛性を弾性値にした分担率とほぼ同じであった。また、端部のねじり剛性の有無による理論からの分担率の違いは、析1で10%程度であった。実際には、橋1と橋4では35%程度違う訳であるがこれは橋4では端部のねじり剛性がないため荷重の伝達が中間横筋からのみとなり中間横筋の剛性の低下が大きいためと思われる。

## 5 まとめ

(1) 1本のT桁において、弾性状態における剛性値を基準とした場合、鉄筋の歪  $2000 \times 10^{-6}$ において、曲げ剛性では鉄筋比0.20のもので約  $\frac{1}{2}$ 、0.78のもので約  $\frac{1}{3}$ ～ $\frac{1}{4}$ に低減した。また、ねじり剛性では鉄筋比によらず約  $\frac{1}{10}$ ～ $\frac{1}{15}$ に低減した。

(2) 多主桁において、変形、荷重伝達に対しては床版の影響はあまり見られず、端部の横筋のねじり剛性が比較的大きな役割をしめている。

(3) (1)の結果に基づいて橋子桁法を使って算出した多主桁の分担性状は、実験結果と良い対応を見せ、弾性状態の剛性値を低減させる事により多主桁の分担性状を推測することができた。

## 6 おわりに

T桁橋の実験に際し、多くの協力をしてくれた高橋弓景君に感謝の意を表します。

### 参考文献

- 1) コンクリート橋 橋筋英雄著 技報堂
- 2) 藤田, 三上 “鉄筋コンクリート多主桁橋のひび割れ発生後の荷重分担について” (セ技年報 33)
- 3) 藤田, 佐伯, 小笠原 “モデル実験による鉄筋コンクリート多主桁橋の受荷能力と破壊形式” 土木造部誌